



## پیش‌بینی مقاومت فشاری ستون‌بتنی مربعی محصور شده با FRP با استفاده از منطق فازی

کورش نصرالله‌زاده<sup>۱\*</sup> و احسان نوحی<sup>۲</sup>

<sup>۱</sup>استادیار، دانشکده مهندسی عمران، دانشگاه صنعتی خواجه نصیرالدین طوسی

<sup>۲</sup>کارشناسی ارشد، دانشکده مهندسی عمران، دانشگاه صنعتی خواجه نصیرالدین طوسی

تاریخ دریافت: ۱۳۹۲/۰۵/۱۴؛ تاریخ بازنگری: ۱۳۹۲/۰۱/۱۴؛ تاریخ پذیرش: ۱۳۹۳/۱۰/۲۳

### چکیده

محصورسازی ستون‌های بتنی با صفحات کامپوزیتی از جنس پلیمرهای مسلح شده با الیاف، موسوم به ورقه‌های FRP، از جمله شیوه‌های نوین در بهسازی سازه‌ها محسوب می‌گردد. بررسی عملکرد ستون‌های بتنی با مقطع دایره‌ای محصور شده با FRP، در سال‌های اخیر به طور وسیعی انجام شده اما مقطع مربعی کمتر مطالعه گردیده است. در این تحقیق، مقاومت فشاری نمونه‌های بتنی مربعی محصور شده با FRP، با استفاده از منطق فازی مدل خواهد شد. به منظور ساخت مدل فازی، نتایج آزمایشگاهی شامل ۱۸۲ نمونه از مقالات انتشار یافته استخراج گردیده است. همچنین روابط صریح مدل فازی پیشنهادی که مقاومت فشاری ستون بتنی مربعی محصور شده با FRP را به صورت تابعی از عرض و شعاع گردی گوش مقطع، مقاومت مشخصه بتن، کل ضخامت دوربیچ FRP، مقاومت کششی و مدول الاستیسیته FRP بیان می‌کند، ارائه شده است. دقت نتایج به دست آمده از مدل فازی پیشنهادی در مقابل داده‌های آزمایشگاهی بسیار رضایت‌بخش می‌باشد. علاوه بر این از مقایسه مدل فازی پیشنهادی با تعدادی از مدل‌های موجود که توسط محققان مختلف ارائه شده‌اند، مشاهده می‌شود که مدل فازی دقت بهتری نسبت به سایر مدل‌های موجود دارد.

**کلمات کلیدی:** ستون بتنی؛ مقطع مربعی؛ محصور شدگی؛ ورقه‌های FRP؛ مقاومت فشاری؛ منطق فازی.

## Prediction of compressive strength of FRP-confined concrete square columns using fuzzy logic approach

Kourosh Nasrollahzadeh<sup>1,\*</sup> and Ehsan Nouhi<sup>2</sup>

<sup>1</sup> Assist. Prof., Civil. Eng., K.N.Toosi University of Tech., Tehran, Iran

<sup>2</sup> M.Sc., Civil. Eng., K.N.Toosi University of Tech., Tehran, Iran

### Abstract

The behavior and modeling of circular concrete sections confined by Fiber Reinforced Polymer (FRP) wraps have been recently studied extensively while non-circular sections have received much less attention. This study focuses on FRP-confined specimens with square sections under axial loading. A fuzzy logic based model is developed to predict the compressive strength of the FRP-confined square sections. The explicit formation of the proposed fuzzy model for the compressive strength of FRP-confined concrete is presented as a function of the section width, corner radius, compressive strength of unconfined concrete, thickness of FRP sheets, tensile strength and elastic modulus of FRP materials. The results indicated that the accuracy of the proposed fuzzy model is quite satisfactory as compared to a large database containing experimental results of 182 specimens assembled from the open literature. Moreover, the proposed fuzzy model is compared with the existing nine models developed by various researchers and is found to be more accurate.

**Keywords:** Concrete column; Square section; Confinement; FRP sheet; Fuzzy logic.

\* نویسنده مسئول؛ تلفن: ۰۲۱۸۷۷۹۴۷۶؛ فکس: ۰۲۱۸۷۷۹۴۷۳

آدرس پست الکترونیک: [nasrollahzadeh@kntu.ac.ir](mailto:nasrollahzadeh@kntu.ac.ir)

توسط ریچارت<sup>۹</sup> و همکاران [۳] و مندر<sup>۱۰</sup> و همکاران [۵] ارائه شده، به دست آمدۀ‌اند. اساس این روابط مقاومت نهایی بتن در آزمایش سه محوره می‌باشد. بنابراین چنین روابطی افزایش مقاومت بتن محصورشده را به صورت تابعی از فشار محصورکننده می‌دهند و فرض بر این است که فشار در تمام مدت بارگذاری محوری ثابت است. مدل‌های فردیس<sup>۱۱</sup> و خلیلی<sup>۱۲</sup> [۶] و سعادت منش<sup>۱۳</sup> و همکاران [۷] جزء این دسته قرار می‌گیرند. در این مدل‌ها بیشترین فشار محصورکننده‌ای که FRP می‌تواند اعمال کند (یعنی فشار محصورکننده در زمان گسیختگی (FRP)، جایگزین این فشار ثابت شده است. بسیاری از محققان معتقدند ایراد این مدل‌ها آن است که تفاوت عمدۀ‌ای بین رفتار کششی فولاد و FRP در نظر نمی‌گیرند [۸]. فشار محصورکننگی ثابت در حالت محصورشدن با فولاد پس از مرحله جاری شدن صادق می‌باشد اما این فرض را نمی‌توان در مورد FRP توسعه داد زیرا FRP جاری نمی‌شود و فشار وارد بر هسته بتن تا زمان گسیختگی FRP به طور مداوم اضافه می‌گردد.

دسته دوم، مدل‌های تجربی می‌باشند که بهترین منحنی برآش شده بر نتایج آزمایش را به عنوان رفتار تنش-کرنش بتن محصورشده با FRP معرفی نموده‌اند. در اکثر این مدل‌ها سعی شده است مقاومت فشاری محاسبه شده، بیشترین انطباق را با آزمایش‌ها داشته باشد. مدل‌های کنو<sup>۱۴</sup> و همکاران [۱۰]، سمعان<sup>۱۵</sup> و همکاران [۸] و لم<sup>۱۶</sup> و تنگ<sup>۱۷</sup> [۲۱] از این نوع می‌باشند.

دسته سوم، مدل‌های محاسباتی هستند و از این نوع مدل‌ها می‌توان به مدل اسپولسترا<sup>۱۸</sup> و مونتی<sup>۱۹</sup> [۱۱] اشاره نمود که برای مقطع دایره‌ای است و تأثیر افزایش تدریجی فشار محصورکننگی FRP را با یک رویه سعی و خطأ لحاظ می‌نماید.

## ۱- مقدمه

بیش از پنجاه سال استفاده از FRP<sup>۱</sup> با عملکردی بسیار خوب در صنعت هواپیما، موجب شد تا این ماده در صنعت ساختمان نیز به کار گرفته شود. قابلیت‌های مطلوب FRP مانند نسبت زیاد مقاومت به وزن، مقاومت در برابر خوردگی، سهولت و سرعت حمل و نصب و خنثی بودن به لحاظ الکترومغناطیسی سبب شده است تا این ماده توسط مهندسان عمران در موارد مختلفی از تعمیر و بهسازی ساختمان‌های موجود تا استفاده در ساختمان‌های جدید مورد استفاده قرار گیرد [۱].

أنواع اصلی FRP عبارت‌اند از: پلیمرهای مسلح شده با الیاف شیشه (GFRP)، با الیاف کربن (CFRP) و با الیاف آرامید (AFRP).

روش‌های بهسازی لرزه‌ای ستون‌های بتنی که مهمترین و بحرانی‌ترین عضو ساختمان‌ها می‌باشند، معطوف به محصورسازی ستون می‌شود. انواع FRP را می‌توان به صورت مارپیچ<sup>۲</sup>، دورپیچ<sup>۳</sup> و لوله<sup>۷</sup> برای محصورسازی ستون به کار برد. تأثیر محصورسازی بر مقاومت و ظرفیت تغییر شکل ستون‌های بتنی، توسعه افراد مختلف مورد مطالعه قرار گرفته است و مدل‌های تجربی و تئوری برای این منظور ارائه شده‌اند [۲].

پیچاندن الیاف FRP به دور ستون بتنی و استفاده از چسب جهت یکپارچه نمودن الیاف و اتصال آن به ستون، برای اولین بار در سال ۱۹۸۸ میلادی و توسعه کاتسوماتا<sup>۸</sup> در ژاپن ارائه گردید.

در اثر محصورشدنگی؛ مقاومت فشاری و کرنش محوری نهایی بتن تحت فشار کاملاً تغییر می‌کند. مدل‌های ارائه شده برای پیش‌بینی مقاومت فشاری ستون‌های بتنی محصورشده با FRP را می‌توان به سه دسته تقسیم نمود:

دسته اول، مدل‌های مبتنی بر محصورشدنگی با فولاد هستند که از تغییر مدل‌های ویژه محصورشدنگی با فولاد که

<sup>9</sup> Richart  
<sup>10</sup> Mander  
<sup>11</sup> Fardis  
<sup>12</sup> Khalili  
<sup>13</sup> Saadatmanesh  
<sup>14</sup> Kono  
<sup>15</sup> Samaan  
<sup>16</sup> Lam  
<sup>17</sup> Teng  
<sup>18</sup> Spoelstra  
<sup>19</sup> Monti

<sup>1</sup> Fiber reinforced polymer

<sup>2</sup> Glass fiber reinforced polymer

<sup>3</sup> Carbon fiber reinforced polymer

<sup>4</sup> Aramid fiber reinforced polymer

<sup>5</sup> Spiral

<sup>6</sup> Wrap

<sup>7</sup> Tube

<sup>8</sup> Katsumata

مطالعه قرار گرفته و مدل‌های زیادی برای بررسی مقاومت فشاری و رفتار تنش-کرنش در این حالت ارائه شده است [۸، ۱۱-۱۵] اما اطلاعات در مورد رفتار ستون چهارضلعی محصورشده با FRP کمتر است. رفتاری که در آن تحت فشاری که FRP برای مقطع بتی ایجاد می‌کند؛ تنها بخشی از مقطع به طور مؤثر محصور می‌شود [۲۲]. در نتیجه اثر محصورسازی به طور قبل ملاحظه‌ای کاهش می‌یابد [۲۳]. در مقاطع چهارضلعی زوایای قائم گوشه‌های مقطع گرد می‌شود تا اثر محصورسازی افزایش یابد و از تمرکز تنش در گوشه‌ها کاسته شود.

**۲-۱- محصورسازی ستون بتی دایره‌ای با FRP**  
هنگامی که یک ستون بتی محصورشده، تحت اثر بار محوری قرار می‌گیرد، هسته ستون بتی تحت این بار، به دلیل وجود اثر پواسون به طور جانی منبسط خواهد شد. محصورسازی از این انبساط بتن تحت فشار جلوگیری می‌کند. از این رو نوعی فشار جانی غیرفعال<sup>۱</sup> از جانب دورپیچ به بتن هسته اعمال می‌گردد و بتن تحت اثر فشار سه محوری قرار می‌گیرد و در نتیجه مقاومت آن افزایش می‌یابد.

در ستون بتی مدور، فشار محصورسازی در محیط دایره ثابت است. البته با این توضیح که امکان نادیده گرفتن اختلاف جزئی در مشخصات؛ مانند غیریکنواختی بتن، وجود دارد. شکل ۲ تبادل تنש‌های میان هسته مدور بتی و دورپیچ پیرامون آن را نشان می‌دهد.

زمانی که دورپیچ FRP گسیخته می‌شود، فشار محصورسازی به مقدار ماکریم خود رسیده است و با توجه به تعادل تنش‌های وارد بر دورپیچ و هسته بتی و نیز با صرف نظر از تنش‌های مماسی در راستای طولی ستون، می‌توان نوشت [۲۴] :

$$f_i = \frac{2\sigma_j t_{FRP}}{D} \quad (1)$$

$$\sigma_j = E_{FRP} \varepsilon_j \quad (2)$$

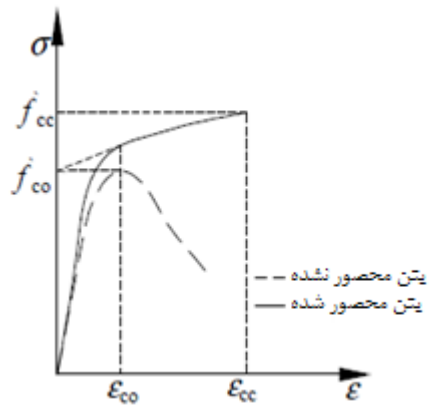
در رابطه ۱، ماکریم تنش فشاری محصورکننده‌ای است که از سمت دورپیچ FRP به هسته مدور بتی با قطر D وارد می‌گردد.  $\sigma$  حداکثر تنش کششی در دورپیچ FRP کل

در سال‌های اخیر نیز محققانی چون چوبک<sup>۲</sup> [۱۴-۱۶] با کاربرد روش‌های محاسبات نرم<sup>۳</sup> همچون شبکه عصبی و الگوریتم ژنتیک، مقاومت فشاری ستون‌های دایره‌ای را بررسی کرده‌اند.

بیشتر تحقیقات و مدل‌ها به بررسی عملکرد ستون‌های مدور دورپیچ شده با FRP اختصاص دارند و ستون‌های با مقطع مربعی کمتر بررسی شده‌اند. در تحقیق حاضر یک روش جدید برای مدل‌کردن مقاومت فشاری ستون بتی مربوطی محصورشده با FRP با استفاده از منطق فازی<sup>۴</sup> ارائه می‌شود که تا کنون در این زمینه استفاده نشده است. برای بررسی دقیق مدل فازی پیشنهادی، نتایج حاصل از مدل با نتایج مدل‌های ارائه شده توسط محققان دیگر و همچنین با مجموعه بزرگی از نتایج آزمایشگاهی موجود مقایسه می‌شود.

## ۲- محصورسازی بتن با FRP

بهسازی لرزه‌ای ستون‌های بتن‌آرمه موجود با استفاده از FRP، براساس این حقیقت است که محصورسازی جانبی بتن، می‌تواند مقاومت فشاری آن را افزایش دهد (شکل ۱).



شکل ۱- نمودار تنش-کرنش بتن محصورشده با FRP [۵۴]

در یک ستون بتی با مقطع مدور که تحت فشار محوری است، بتن توسط دورپیچ FRP به صورت یکنواخت محصور می‌شود. رفتار اینگونه محصورسازی، به صورت وسیعی مورد

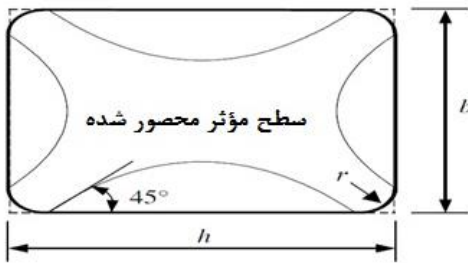
<sup>1</sup> Cevik

<sup>2</sup> Soft computing

<sup>3</sup> Fuzzy logic

<sup>4</sup> Passive

خاموت‌ها به واسطه عمل قوسی<sup>۱</sup> است و فقط بخشی از مقطع بتنی که توسط منحنی‌های درجه دو که گوشه‌های مقطع را با زاویه ۴۵ درجه قطع می‌کنند (شکل ۳)، احاطه شده است، به طور مؤثر محصور می‌شود. حال آن که اثر محصورسازی در بخش‌های باقیمانده مقطع قابل چشم‌پوشی است.



شکل ۳ - ناحیه به طور مؤثر محصورشده در ستون مستطیلی [۲۵]

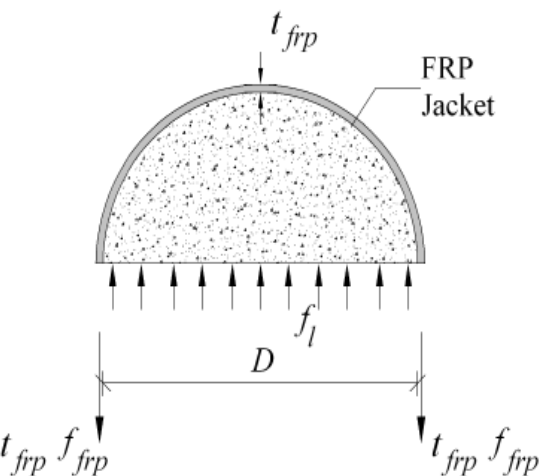
بین فولاد و FRP در محصورسازی مقطع تفاوت‌هایی وجود دارد اما این بحث که فقط بخشی از مقطع به طور کامل محصور می‌شود، در مورد دورپیچ FRP نیز صادق است. کاهش اثر دورپیچ FRP در مقطع مستطیلی نسبت به مقطع دایره‌ای توسط نتایج آزمایشگاهی نیز تأیید شده است [۲۳] و [۲۸] اما حتی با وجود این کاهش اثر، در یک ستون مستطیلی محصورشده با FRP نیز معمولاً علت خرابی، گسیختگی FRP می‌باشد [۲۸].

اغلب مدل‌های موجود برای محاسبه مقاومت فشاری ستون‌های چهارضلعی محصورشده با FRP رابطه‌ای به شکل زیر دارند و در آن‌ها مقاومت فشاری بتن به ابعاد مقطع، شعاع گردی گوشه‌ها، مقاومت فشاری هسته بتنی و سفتی دورپیچ FRP وابسته شده است.

$$\frac{f_{cc}'}{f_{co}'} = 1 + k_1 k_s \left( \frac{f_l}{f_{co}'} \right) \quad (3)$$

در این رابطه،  $f_{cc}'$  مقاومت فشاری بتن محصورشده،  $f_{co}'$  مقاومت مشخصه بتن،  $k_s$  ضریب شکل مقطع و  $k_1$  ضریب تأثیر محصورشدنگی است که برای مقطع مدور هم استفاده می‌شود.  $k_1$  نیز تنش محصورشدنگی می‌باشد.

ضخامت دورپیچ FRP،  $D$  قطر هسته بتنی محصورشده و  $E_{FRP}$  مدول الاستیسیته FRP است. همچنین بین حداکثر تنش کششی  $\sigma_0$  و کرنش نهایی FRP در کشش  $\epsilon_0$  رابطه ۲ برقرار می‌باشد.



شکل ۲ - توزیع تنش وارد بر روکش پیرامونی و هسته مدوریتی [۲۴]

**۲-۲- محصورسازی ستون‌های چهارضلعی با FRP**  
اثر دورپیچ FRP در بهبود شاخصه‌های باربری ستون‌های چهارضلعی بتنی محصورشده با FRP، کمتر از مقطع دایره‌ای است. در مقطع چهارضلعی فشار محصورکننده‌ای که از جانب دورپیچ FRP به بتن میانی وارد می‌آید، به طور یکنواخت در کل ستون توزیع نمی‌شود [۲۵]. شکل ۳ نواحی محصورشده در مقطع مستطیلی را نشان می‌دهد. در این شکل، عرض مقطع برابر  $b$  است که از ارتفاع مقطع  $h$  کوچکتر می‌باشد. ستون مربعی نیز حالت خاصی از ستون مستطیلی است که در آن  $b=h$  است. برای بهبود اثر دورپیچ FRP، گردکردن چهار گوشه مقطع توصیه می‌گردد. با توجه به قرار دادن آرماتورهای فولادی در مقطع، شعاع گوشه  $r$ ، معمولاً به مقادیر کوچکی محدود می‌شود [۲۵].

حقوقان در مطالعات انجام شده بر روی محصورسازی بتن با استفاده از فولاد عرضی [۲۶، ۲۷]، به این نتیجه رسیده‌اند که محصورسازی بتن در مقطع مستطیلی توسط

<sup>۱</sup> Arch action

مستطیلی استفاده کرد. در جدول ۱ روابط مربوط به این مدل‌ها ارائه شده است. در جدول ۲ نیز روابطی که در هر مدل برای محاسبه تنش فشاری محصورکننده به کار می‌رود، بیان گشته است. پارامترهای به کار رفته در این جداول در ذیل جدول ۲ توضیح داده شده‌اند. در مواردی هم، نیاز به توضیحات بیشتری احساس می‌شود که در ادامه به آن پرداخته شده است.

میرمیران و همکارانش [۲۳] نسبت محصورشدنگی،  $f_c/f_{co}$  را به صورت ضریب اصلاح محصورشدنگی،  $MCR^{12}$  (رابطه ۵)، تعریف می‌کنند و معتقدند که اگر مقدار  $MCR$ ، بیشتر از  $0.15$  باشد، تأثیر دورپیچ FRP در افزایش مقاومت فشاری ستون محسوس خواهد بود و مدل ارائه شده توسط آن‌ها، می‌تواند برای پیش‌بینی مقاومت فشاری استفاده شود.

$$MCR = \left( \frac{2r}{h} \right) \left( \frac{f_c}{f_{co}} \right) \geq 0.15 \quad (5)$$

در مدل  $lm$  و  $Tn$  [۲۵]، مقدار کرنش نهایی FRP در کشش  $\epsilon_e$ ، برابر مقدار واقعی کرنش گسیختگی حلقوی FRP،  $\epsilon_{h,rup}$ ، فرض می‌شود و از رابطه ۶ به دست می‌آید.  $\epsilon_{h,rup}$  را می‌توان با استفاده از ضریب کارآبی دورپیچ FRP،  $k_e$ ، که توسط پسیکی<sup>۱۳</sup> و همکارانش [۳۸] تعریف شده است، به کرنش کششی نهایی FRP،  $\epsilon_{FRP}$ ، ارتباط داد.

$$\epsilon_{h,rup} = k_e \epsilon_{FRP} \quad (6)$$

مقدار ضریب کارآبی به جنس کامپوزیت FRP وابسته است [۲۱]. همچنین  $\rho_{sc}$  که در مدل  $lm$  و  $Tn$  [۲۵] به کار می‌رود، نسبت سطح مقطع آرماتورهای طولی به کل سطح مقطع چهارضلعی می‌باشد.

### ۳-داده‌های آزمایشگاهی

در این تحقیق یک مطالعه گستردگی بر روی کارهایی که به بررسی آزمایشگاهی مقاومت فشاری نمونه‌های بتنی مربعی محصورشده با FRP پرداخته بودند، صورت گرفته و مجموعه‌ای ۱۸۲ تایی از نتایج مطالعات آزمایشگاهی منتشر شده پیرامون مقاومت فشاری گرداوری شده است. دیمرز<sup>۱۴</sup> و

در ستون دایره‌ای تحت بار محوری، تمام ستون به طور یکنواخت محصور می‌شود، در حالی که در ستون چهارضلعی تأثیر دورپیچ در گوش و وسط مقطع بیشتر و در نقاط میانی کناره‌ها کمتر است. برای ساده‌سازی، مقطع را مانند شکل ۳ به دو قسمت تقسیم می‌کنیم [۲۵]: قسمت اول، سطح مؤثر محصورشده است. جایی که فرض می‌کنیم محصورشدنگی یکنواخت باشد. برای قسمت باقیمانده مقطع نیز فرض می‌کنیم که محصورشدنگی نداریم. با این تعریف، ضریب شکل مقطع  $k_s$ ، برای بیان اثر محصورشدنگی غیریکنواخت به صورت زیر محاسبه می‌شود:

$$k_s = \frac{A_{conf}}{A_{gross}} \quad (4)$$

که در آن  $A_{conf}$  سطح مؤثر محصورشده و  $A_{gross}$  کل سطح مقطع است.

همان‌گونه که قبلاً اشاره شد برای ستون دایره‌ای، تنش محصورشدنگی از رابطه ۱ به دست می‌آید. فرمول مشابهی برای مقطع چهارضلعی پیشنهاد شده است که در آن مقدار  $D$ ، قطر مقطع مدور معادل می‌باشد که در هر مدل این مقدار تعریف می‌شود.

در این تحقیق، ۹ مدل پیش‌بینی مقاومت فشاری ستون چهارضلعی محصورشده با FRP، ارائه شده توسط محققان مختلف، برای مقایسه با مدل فازی پیشنهادی مورد استفاده قرار گرفته است [۲۳، ۲۱، ۴۵، ۴۴، ۲۵، ۵۱، ۵۰، ۴۸، ۵۲، ۴۹]. از این ۹ مدل، ۴ مدل کمبیونه<sup>۱</sup> و میراگلیا<sup>۲</sup> [۴۴]، السلام<sup>۳</sup> [۴۵]، شهراتا<sup>۴</sup> و همکاران [۵۱] و کوموتا<sup>۵</sup> و همکاران [۵۲] تنها برای ستون‌های بتنی محصورشده با FRP می‌باشند. پنج مدل میرمیران<sup>۶</sup> و همکاران [۲۲]،  $lm$  و  $Tn$  [۲۵]، ایلکی<sup>۷</sup> و همکاران [۴۸]، وو<sup>۸</sup> و ونگ<sup>۹</sup> [۴۹] و پانتلیدس<sup>۱۰</sup> و یان<sup>۱۱</sup> [۵۰] را نیز می‌توان برای ستون بتنی

<sup>1</sup> Campione

<sup>2</sup> Miraglia

<sup>3</sup> Al-Salloum

<sup>4</sup> Shehata

<sup>5</sup> Kumutha

<sup>6</sup> Mirmiran

<sup>7</sup> Ilki

<sup>8</sup> Wu

<sup>9</sup> Wang

<sup>10</sup> Pantelides

<sup>11</sup> Yan

<sup>12</sup> Modified confinement ratio

<sup>13</sup> Pessiki

<sup>14</sup> Demers

جدول ۱- مدل‌های پیش‌بینی مقاومت فشاری ستون‌های چهارضلعی محصور شده با FRP

نام محققان	رابطه مقاومت فشاری
میرمیران و همکاران [۲۳] (۱۹۹۸)	$\frac{f_{cc}'}{f_{co}'} = 1 + 6.0 \left( \frac{2r}{h} \right) \left( \frac{f_l}{f_{co}}^{0.7} \right) \quad \text{for } MCR \geq 0.15$
شهاتا و همکاران [۵۱] (۲۰۰۲)	$\frac{f_{cc}'}{f_{co}'} = 1 + 0.85 \frac{f_l}{f_{co}}$
لم و تنگ [۲۵] (۲۰۰۳)	$\frac{f_{cc}'}{f_{co}'} = 1 + 3.3 \left( \frac{b}{h} \right)^2 \left[ \frac{1 - \left( \frac{\left( \frac{b}{h} \right)(h-2r)^2 + \left( \frac{h}{b} \right)(b-2r)^2}{3(bh - (4-\pi)r^2)} \right) - \rho_{sc}}{1 - \rho_{sc}} \right] \left( \frac{f_l}{f_{co}} \right)$
کمپیونه و میراگلیا [۴۴] (۲۰۰۳)	$\frac{f_{cc}'}{f_{co}'} = 1 + 2 \left[ 1 - \frac{2 \left( 1 - \frac{2r}{b} \right)^2}{3 \left[ 1 - (4-\pi) \left( \frac{r}{b} \right)^2 \right]} \right] \left( \frac{f_l}{f_{co}} \right)$
السلوم [۴۵] (۲۰۰۷)	$\frac{f_{cc}'}{f_{co}'} = 1 + 3.14 \left[ 1 - \frac{2 \left( 1 - \frac{2r}{b} \right)^2}{3 \left[ 1 - (4-\pi) \left( \frac{r}{b} \right)^2 \right]} \right] \left( \frac{b}{\sqrt{2b - 2r(\sqrt{2} - 1)}} \right) \left( \frac{f_l}{f_{co}} \right)$
پانتلیدس و بیان [۵۰] (۲۰۰۷)	$\frac{f_{cc}'}{f_{co}'} = -4.322 + 4.271 \sqrt{\left( 1 + 4.193 \left( \frac{f_l}{f_{co}} \right) \right)} - 2 \left( \frac{f_l}{f_{co}} \right) \quad \text{for } \frac{f_l}{f_{co}} \geq 0.2$
کوموتا و همکاران [۵۲] (۲۰۰۷)	$\frac{f_{cc}'}{f_{co}'} = \max \left\{ \frac{-4.322 + 4.271 \sqrt{\left( 1 + 4.193 \left( \frac{f_l}{f_{co}} \right) \right)} - 2 \left( \frac{f_l}{f_{co}} \right)}{0.0768 \ln \left( \frac{f_l}{f_{co}} \right) + 1.122}, 1 \right\} \quad \text{for } \frac{f_l}{f_{co}} < 0.2$
ابلکی و همکاران [۴۸] (۲۰۰۸)	$\frac{f_{cc}'}{f_{co}'} = 1 + 2.54 \frac{f_l}{f_{co}}$
وو و ونگ [۴۹] (۲۰۰۸)	$\frac{f_{cc}'}{f_{co}'} = 1 + 2.16 \left( \frac{2r}{b} \right)^{0.651} \left( \frac{f_l}{f_{co}} \right)^{0.955}$

جدول ۲- رابطه تنش فشاری محصورکننده در مدل‌های پیش‌بینی مقاومت فشاری ستون‌های چهارضلعی محصورشده با FRP

رابطه تنش فشاری محصورکننده $f_l$	نام محققان
$f_l = \frac{2f_{FRP}t_{FRP}}{h}$	میرمیران و همکاران [۲۳] (۱۹۹۸)
$f_l = \frac{2E_{FRP}\varepsilon_{FRP}t_{FRP}}{b}$	شهاتا و همکاران [۵۱] (۲۰۰۲)
$f_l = \frac{2E_{FRP}\varepsilon_{h,rup}t_{FRP}}{\sqrt{h^2 + b^2}}$	لم و تنگ [۲۵] (۲۰۰۳)
$f_l = \frac{2f_{FRP} \left[ 0.85 \left( \frac{2r}{b} \right) + 0.15 \right] t_{FRP}}{b}$	کمپیونه و میراگلیا [۴۴] (۲۰۰۳)
$f_l = \frac{2E_{FRP}\varepsilon_{FRP}t_{FRP}}{b\sqrt{2} - 2r(\sqrt{2} - 1)}$	السلوم [۴۵] (۲۰۰۷)
$f_l = 0.5 \left( 1 - \frac{(h-2r)^2 + (b-2r)^2}{3bh} \right) \left( \frac{b+h}{bh} \right) E_{FRP} \varepsilon_{FRP} t_{FRP}$	پانتلیدس و یان [۵۰] (۲۰۰۷)
$f_l = \frac{f_{FRP}t_{FRP}(b+h)}{bh}$	کوموتا و همکاران [۵۲] (۲۰۰۷)
$f_l = 0.85 \left( \frac{b+h}{bh} \right) \left[ 1 - \left( \frac{\left( \frac{b}{h} \right)(h-2r)^2 + \left( \frac{h}{b} \right)(b-2r)^2}{3(bh - (4-\pi)r^2)} \right) \right] E_{FRP} \varepsilon_{FRP} t_{FRP}$	ایلکی و همکاران [۴۸] (۲۰۰۸)
$f_l = \frac{E_{FRP}\varepsilon_{FRP}t_{FRP}}{b}$	وو و ونگ [۴۹] (۲۰۰۸)

توضیح:  $h$ : ارتفاع مقطع،  $b$ : عرض مقطع،  $r$ : شعاع گردی گوش مقطع،  $f_{co}$ : مقاومت مشخصه بتن،  $f_{FRP}$ : کل ضخامت دوربیج FRP،  $E_{FRP}$ : مدول الاستیسیته FRP،  $\varepsilon_{FRP}$ : کرنش کششی نهایی FRP.

شیشه‌ای GFRP و آرامیدی AFRP می‌باشد. طول دوربیج معادل طول نمونه می‌باشد، در آزمایش‌های جمع‌آوری شده طول نمونه‌های استفاده شده از ۱۸۳۰ تا ۳۰۰ میلی‌متر و نسبت طول به بعد عرضی نمونه‌ها از  $1/6$  تا  $4$  متغیر می‌باشد. در این محدوده‌ی نسبت طول به بعد عرضی نمونه‌ها، نمونه به اندازه کافی بلند در نظر گرفته می‌شود و اثر طول نمونه قابل صرف‌نظر می‌باشد. شایان ذکر است که در مدل‌های ارائه شده توسط محققان (جدول ۱) نیز از اثر طول نمونه صرف‌نظر شده است. سایر اطلاعات آماری مربوط به داده‌های آزمایشگاهی در جدول ۳ ارائه گردیده است.

**۴- مروری بر سیستم استنتاج بر مبنای منطق فازی**  
در طول دهه‌های گذشته، منطق فازی که برای اولین بار در سال ۱۹۶۵ و توسط پروفسور زاده [۲۹] مطرح شد، به طور گسترده در محدوده وسیعی از علوم مهندسی مورد استفاده

نیل<sup>۱</sup> [۵۳]، راچت<sup>۲</sup> و لابوسیر<sup>۳</sup> [۲۸]، سوتر<sup>۴</sup> و پینزلی<sup>۵</sup> [۴]، پسیکی و همکاران [۲۸]، پروین<sup>۶</sup> و ونگ [۴۶]، شهاتا و همکاران [۵۱]، چلال<sup>۷</sup> و همکاران [۹]، السلوم [۴۵]، لم و تنگ [۲۵]، ایلکی و همکاران [۳۶]، وو و همکاران [۳۷]، روساکیس<sup>۸</sup> و همکاران [۴۷] و ونگ و وو [۳۵] از جمله محققانی هستند که در مطالعات آزمایشگاهی خود، مقاومت فشاری ستون‌های محصورشده با FRP و با مقطع مربعی را اندازه‌گیری نموده‌اند. در مجموعه نتایج آزمایشگاهی گردآوری شده، پوشش پیرامون ستون از سه نوع الیاف کربنی CFRP،

<sup>1</sup> Neale<sup>2</sup> Rochette<sup>3</sup> Labossiere<sup>4</sup> Suter<sup>5</sup> Pinzelli<sup>6</sup> Parvin<sup>7</sup> Chaallal<sup>8</sup> Rousakis

مراحل به کارگیری منطق فازی برای مدل‌سازی عبارت است از [۳۲]:

- ۱- فازی‌سازی به منظور تبدیل داده‌های صریح به داده‌های فازی یا توابع عضویت.
- ۲- فرآیند استنتاج فازی که به توابع عضویت با قواعد فازی، برای استخراج خروجی فازی مربوط می‌شود.
- ۳- غیرفازی‌سازی هر خروجی و محاسبه خروجی صریح مربوطه.

سیستم‌های استنتاج فازی از نوع ممدنی<sup>۴</sup> و سوگنو<sup>۵</sup> به طور گسترده برای کاربردهای مختلف به کار گرفته می‌شوند. این سیستم‌ها در قسمت تالی قوانین فازی با هم تفاوت دارند. زیرا رویه غیرفازی‌سازی آن‌ها با یکدیگر متفاوت است [۳۴].

**۴- خوشبندی کاهشی**  
 الگوریتم‌های خوشبندی نه تنها به طور گسترده برای سازماندهی و دسته‌بندی داده‌ها استفاده می‌شوند، بلکه برای شناسایی و ساخت مدل نیز قابل استفاده می‌باشند. چهار روش خوشبندی وجود دارد که عبارتند از: خوشبندی C میانگین (سخت)<sup>۶</sup>، خوشبندی فازی C میانگین<sup>۷</sup>، خوشبندی کوه<sup>۸</sup> و خوشبندی کاهشی<sup>۹</sup> [۳۴]. در این تحقیق، از خوشبندی کاهشی که در واقع توسعه یافته روش خوشبندی کوه می‌باشد، برای شناسایی مدل فازی استفاده شده است. در خوشبندی کاهشی، هر داده آزمایشگاهی به عنوان یک بردار  $\mathbf{x}_i$ ، که مختصات آن شامل مقادیر ورودی و خروجی است، در نظر گرفته می‌شود. همچنین هر مختصه با تقسیم بر دامنه داده‌ها در جهت مذبور نرمال می‌شود؛ به گونه‌ای که بین ۰ و ۱ قرار می‌گیرد.

در مسئله مورد بررسی، مختصات بردار  $\mathbf{x}_i$  شامل مقادیر نرمال شده  $[b, r, f_{co}, t_{FRP}, E_{FRP}, f_{cc}]$ ، برای i امین داده می‌باشد. توضیح آن که پارامترهای مختلف در ذیل جدول ۳ تعریف شده‌اند. برای شروع روش خوشبندی کاهشی و تعیین اولین مرکز خوش لازم است به هر نقطه مقداری به عنوان

جدول ۳- اطلاعات آماری داده‌های آزمایشگاهی جمع آوری شده

پارامترهای هر داده	COV(%)	میانگین	دامنه	Min	Max
b(mm)	۲۴/۳۳	۱۵۹/۳۸	۳۵۰	۱۰۸	۴۵۸
r(mm)	۷۰/۶۵	۲۳/۸۰	۶۰	.	۶۰
$f_{co}(\text{MPa})$	۳۰/۳۵	۳۷/۰۶	۴۹/۹	۶/۸	۵۶/۷
$t_{FRP}(\text{mm})$	۱۲۲/۷۵	۰/۶۶	۴/۹۲۳	۰/۱۱۷	۵۰/۰۴
$f_{FRP}(\text{MPa})$	۴۶/۰۳	۳۰/۹۹/۳۲	۴۲۹۹	۲۲۰	۴۵۱۹
$E_{FRP}(\text{GPa})$	۵۱/۷۰	۱۸۳/۲۱	۶۲۹/۵	۱۰/۵	۶۴۰
$f_{cc,exp}(\text{MPa})$	۲۹/۵۴	۴۹/۷۱	۸۴/۱	۱۱/۱	۹۵/۲

توضیح: b: بعد مقطع، r: شاعع گردی گوشه مقطع،  $f_{co}$ : مقاومت مشخصه بتن،  $t_{FRP}$ : کل ضخامت دوربین FRP،  $E_{FRP}$ : مقاومت کششی FRP،  $f_{cc,exp}$ : مدول الاستیسیته FRP،  $f_{cc}$ : مقاومت فشاری بتن محصور شده.

قرار گرفته است. به عنوان نمونه می‌توان به کنترل فرآیندها، پردازش تصویر، شناسایی الگو و طبقه بندی اشاره کرد [۳۰]. سیستم‌های فازی را می‌توان به عنوان سیستم‌هایی مبتنی بر قانون که از مجموعه‌ای قواعد زبانی ساخته شده‌اند، تعریف کرد. سیستم مبتنی بر قوانین فازی یک سیستم با قواعد اگر-آنگاه می‌باشد و به این صورت بیان می‌شود که اگر قسمت مقدم<sup>۱</sup> برقرار باشد، آنگاه قسمت تالی<sup>۲</sup> نتیجه خواهد شد [۳۱].

عملگرهای فازی براساس نظریه گروه‌های فازی رفتار می‌کنند که در آن‌ها داده‌های ورودی ممکن است به عنوان یک مجموعه فازی تعریف شوند و یا یک عضو با مقدار عضویت واحد باشند [۳۲].

یک مجموعه فازی، برخلاف مجموعه‌های صریح<sup>۳</sup> که در آن یک عضو یا به آن مجموعه تعلق دارد یا ندارد (۰ یا ۱)، شامل اعضایی با درجه عضویت متفاوت می‌باشد. به هر حال، یک مجموعه فازی به یک عضو اجازه می‌دهد تا درجات مختلفی از عضویت داشته باشد و این درجات عضویت را می‌توان به یک تابع و یا یک مجموعه از مقادیر عضویت نگاشت [۳۳].

<sup>4</sup> Mamdani<sup>5</sup> Sugeno<sup>6</sup> (hard) C-means clustering<sup>7</sup> Fuzzy C-means clustering<sup>8</sup> Mountain clustering<sup>9</sup> Subtractive clustering<sup>1</sup> Antecedent<sup>2</sup> Consequent<sup>3</sup> Crisp

خوشبندی کاهشی چهار پارامتر دارد که عبارت اند از: نسبت پذیرش<sup>۱</sup> (ε)، نسبت رد<sup>۲</sup> (r<sub>a</sub>)، شاعع خوشه (x<sub>i</sub>) و ضریب نادیده گرفتن<sup>۳</sup> (η). این پارامترها، تأثیر زیادی بر روی روى تعداد خوشه‌ها دارند. مقدار بزرگ ε و سبب کاهش تعداد خوشه‌ها و به طور عکس مقدار کوچک برای ε و η، موجب افزایش تعداد مراکز خوشه‌ها می‌گردد. یک مقدار بزرگ برای r<sub>a</sub> سبب کاهش تعداد خوشه‌ها و مقدار کوچک r<sub>a</sub> سبب افزایش بیش از حد تعداد خوشه‌ها می‌شود [۳۴]. در این تحقیق، برای خوشبندی از پیشفرض‌های نرم‌افزار متلب برای پارامترهای ε و η، استفاده شده است که به ترتیب ۰/۵، ۰/۱۵ و ۱/۲۵ می‌باشند. مقدار بهینه شاعع r<sub>a</sub> نیز با استفاده از سعی و خطای تعیین می‌شود که در قسمت‌های بعد توضیح داده خواهد شد.

#### ۴-۲- شناسایی مدل فازی اولیه

بر مبنای خوشبندی داده‌ها و تعیین مراکز خوشه‌ها می‌توان یک مدل فازی را شناسایی نمود. به عبارت دیگر هر مرکز خوشه معرف یک قانون فازی به شکل اگر-آنگاه است که این‌گونه بیان می‌شود: اگر مختصات ورودی یک نقطه دلخواه نزدیک به مرکز یک خوشه باشد آنگاه خروجی آن نقطه نیز نزدیک به خروجی متناظر با مرکز خوشه خواهد بود. درجه ارضی یا وزن این قانون فازی به میزان نزدیکی نقطه دلخواه تا مرکز خوشه بستگی دارد و به صورت تابعی از فاصله اقلیدسی مختصات ورودی نقطه دلخواه تا مرکز خوشه مورد نظر تعریف می‌گردد. بنابراین تعداد قوانین مدل فازی برابر با تعداد خوشه‌ها خواهد بود و وزن هر قانون برای یک نقطه دلخواه (با مختصات ورودی نرمال شده\*) به صورت زیر قابل تعریف است:

$$w_i = e^{-\frac{4}{r_a^2} \|x - x_i^c\|^2} \quad (10)$$

که در آن <sup>\*</sup>، بردار مختصات ورودی نرمال شده مرکز خوشه i ام می‌باشد.

پتانسیل یا استعداد برای مرکز خوشه شدن نسبت داد. این پتانسیل P<sub>i</sub>، به صورت تابعی از فاصله اقلیدسی نقطه i ام از همه نقاط دیگر تعریف شده و از رابطه ۷ محاسبه می‌شود.

$$P_i = \sum_{j=1}^n e^{-\frac{4}{r_a^2} \|x_i - x_j\|^2} \quad (7)$$

که در آن  $\|x_i - x_j\|$ ، به معنی فاصله اقلیدسی بین دو نقطه (یعنی دو بردار نرمال شده x<sub>i</sub> و x<sub>j</sub>) و n تعداد کل نقاط داده می‌باشد. <sup>a</sup> نیز عدد ثابت و مشبّتی است که شاعع تأثیر یک مرکز خوشه را در هر جهت مختصات مشخص می‌کند و از آنجایی که مختصات نقاط نرمال شده‌اند، r<sub>a</sub> کمتر از یک می‌باشد.

اولین مرکز خوشه x<sub>1</sub><sup>c</sup>، نقطه‌ای است که حداکثر مقدار پتانسیل را دارد. سپس پتانسیل بقیه نقاط x<sub>i</sub>، توسط رابطه ۸ کاهش داده می‌شود.

$$P_i = P_i - P_1^c e^{-\frac{4}{r_b^2} \|x_i - x_1^c\|^2} \quad (8)$$

در رابطه ۸، x<sub>1</sub><sup>c</sup> و P<sub>1</sub><sup>c</sup> به ترتیب موقعیت و پتانسیل اولین مرکز خوشه می‌باشند. این رابطه نشان می‌دهد پتانسیل نقاطی که در نزدیکی اولین مرکز خوشه قرار دارند، به مقدار قابل توجهی کاهش داده می‌شود و بنابراین احتمال آن که به عنوان مرکز خوشه انتخاب شوند، منتفی می‌گردد. عدد ثابت r<sub>b</sub> شعاعی را مشخص می‌نماید که در آن کاهش قابل توجهی در پتانسیل رخ می‌دهد و به صورت مضری از r<sub>a</sub> بیان می‌شود (رابطه ۹).

$$r_b = nr_a \quad (9)$$

برای آن که مراکز خوشه از هم فاصله کافی داشته باشند، مقدار ۶ در رابطه ۹، کمی بزرگتر از ۱ در نظر گرفته می‌شود. پس از آن که پتانسیل همه نقاط با استفاده از رابطه ۸ بازنگری شد، نقطه‌ای که دارای بیشترین پتانسیل باشد به عنوان دومین مرکز خوشه در نظر گرفته می‌شود. به طور کلی پس از تعیین یک مرکز خوشه جدید، پتانسیل همه نقاط کاهش می‌باید و مرکز خوشه بعدی، نقطه با بیشترین پتانسیل خواهد بود. این روند تا آن جا ادامه خواهد یافت که پتانسیل همه نقاط به کمتر از کسری از پتانسیل اولین مرکز خوشه برسد.

<sup>1</sup> Accept ratio

<sup>2</sup> Reject ratio

<sup>3</sup> Quash factor

آموزش) و گروه دوم داده‌های اند که با آن‌ها دقت مدل را کنترل می‌کنیم (testing data یا داده‌های آزمایش). برای مقادیر مختلف شعاع این کار انجام شده و نتایج مدل‌های ساخته شده بر روی داده‌های آموزش، داده‌های آزمایش و همه داده‌ها، به تفکیک در جدول ۴ ارائه گردیده است. در این جدول برای مقایسه میزان خطای هر مدل نسبت به نتایج آزمایشگاهی، مقدار MAPE<sup>۱</sup> مطابق با رابطه ۱۴ محاسبه می‌شود که در آن  $n$  تعداد داده‌ها می‌باشد. همچنین مقدار میانگین و انحراف معیار برای نسبت ( $f_{cc,exp}/f_{cc,pred}$ ) محاسبه شده و مقدار ضریب تغییرات COV<sup>۲</sup>، از تقسیم مقدار انحراف معیار بر میانگین، حاصل می‌شود.

$$MAPE = \frac{1}{n} \sum_{t=1}^n \left| \frac{EXP_t - PRED_t}{EXP_t} \right| \times 100 \quad (14)$$

همانطور که در جدول ۴ ملاحظه می‌شود بهترین مدل متناظر با کمترین مقادیر خطای زمانی حاصل می‌شود که مقدار شعاع  $r$  برابر با  $۸۵۲۵/۰$  و سیستم استنتاج فازی از نوع سوگنو خطی در نظر گرفته شود.

تعداد خوشه‌های مدل انتخاب شده، سه عدد می‌باشد و مختصات مربوط به مرکز هر خوشه در جدول ۵ ارائه گشته است. مقدار ضرایب مجهول  $s_i$ ,  $u_i$ ,  $v_i$ ,  $x_i$ ,  $y_i$ ,  $z_i$  و  $q_i$  برای هر قانون (رابطه ۱۲)، از طریق تخمین حداقل مربعات تعیین شده و در جدول ۶ ارائه گشته است.

از نکات مهمی که باید در انتخاب شعاع بهینه در نظر داشت این است که مقادیر خطای هم روی داده‌هایی که با آن‌ها مدل را ساخته‌ایم، کم باشد و هم روی داده‌هایی که برای کنترل مدل جدا کرده‌ایم. همچنین مقادیر خطای هر دو دسته داده به هم نزدیک باشند. به این ترتیب مدل دارای قابلیت تعیین دهنده خواهد بود.

شکل ۴، نمودار مدل فازی پیشنهادی را برای یک داده آزمایشگاهی با مقادیر ورودی  $a = ۳۰$  mm,  $b = ۱۵۰$  mm,  $E_{FRP} = ۲۳۰$  GPa,  $f_{FRP} = ۴۳۶۴$  MPa,  $t_{FRP} = ۰/۱۶۵$  mm,  $f_{co} = ۳۲/۳$  MPa و مقدار  $f_{cc,exp} = ۴۳/۴$  MPa نشان می‌دهد.

#### ۴-۳- بهینه سازی مدل فازی

با توجه به رابطه ۱۰، مشخص می‌شود که قسمت مقدم قوانین فازی تعریف شده، دارایتابع عضویت از نوع گاووسی هستند. برای قسمت تالی قوانین فازی در این مقاله از مدل فازی سوگنو استفاده می‌شود که می‌تواند رفتارهای پیچیده را با تعداد قوانین محدود توصیف نماید. مدل فازی سوگنو می‌تواند از مرتبه اول (خطی) و یا مرتبه صفر (ثابت) باشد.

مدل خطی دارای رابطه زیر است:

$$f'_{cc} = \frac{\sum_{i=1}^c w_i f'_{cci}}{\sum_{i=1}^c w_i} \quad (11)$$

که در آن

$$f'_{cci} = s_i b + u_i r + v_i f'_{co} + x_i t_{FRP} + y_i f_{FRP} + z_i E_{FRP} + q_i \quad (12)$$

در رابطه ۱۱،  $f'_{cc}$  مقدار مقاومت فشاری بتن محصور شده با FRP (خروجی مدل فازی)،  $c$  تعداد کل قوانین فازی یا تعداد کل خوشه‌ها و  $w_i$  وزن هر قانون (رابطه ۱۰) می‌باشد. مدل سوگنوی ثابت نیز به صورت زیر بیان می‌شود:

$$f'_{cc} = \frac{\sum_{i=1}^c w_i q_i}{\sum_{i=1}^c w_i} \quad (13)$$

در روابط ۱۲ و ۱۳، مقدار ضرایب  $s_i$ ,  $u_i$ ,  $v_i$ ,  $x_i$ ,  $y_i$  و  $z_i$  و  $q_i$  مجهول است و باید به گونه‌ای تعیین گردد که خطای مدل نسبت به داده‌هایی که در یادگیری مدل به کار می‌روند (training data) حداقل شود. با توجه به این که قسمت مقدم قوانین فازی، تابع مرکز خوشه می‌باشد و بنابراین ثابت نگه داشته می‌شود، تعیین این ضرایب در قسمت تالی قوانین، یک مسئله بهینه‌سازی خطی به صورت تخمین حداقل مربعات خواهد بود.

#### ۵- ساخت مدل فازی برای مقاومت فشاری

##### ستون‌های بتنی مربعی محصور شده با FRP

برای ساخت مدل فازی، ابتدا یک مقدار برای شعاع  $r$  انتخاب می‌شود. سپس داده‌های آزمایشگاهی جمع آوری شده به دو قسمت تقسیم می‌گردد. گروه اول داده‌هایی هستند که با آن‌ها مدل ساخته می‌شود training data یا داده‌های

<sup>1</sup> Mean absolute percentage error

<sup>2</sup> Coefficient of variation

جدول ۴ - نتایج به دست آمده برای مدل‌های فازی با مقادیر مختلف  $r_a$ 

All data			Testing data			Training data			نوع	تعداد	شعاع
Mean	MAPE (%)	COV (%)	Mean	MAPE (%)	COV (%)	Mean	MAPE (%)	COV (%)	مدل فازی	قانون/خوشة	خوشة ( $r_a$ )
۱/۰۰۲۹	۱۰/۰۲	۱۳/۱۰	۰/۹۹۹۲	۱۱/۳۲	۱۴/۲۰	۱/۰۰۶۳	۸/۸۷	۱۲/۰۵	خطی	۲	۰/۹۴
۱/۰۰۴	۱۰/۳۱	۱۳/۰۱	۰/۹۹۸۳	۱۱/۹۵	۱۴/۹۰	۱/۰۰۲۴	۸/۸۴	۱۱/۰۵	خطی	۳	۰/۸۶
۱/۰۱۵۰	۹/۴۵	۱۲/۲۵	۱/۰۲۸۲	۱۰/۱۰	۱۲/۸۷	۱/۰۰۴۲	۸/۹۱	۱۱/۵۷	خطی	۳	۰/۸۵۲۵
۱/۰۱۵۰	۹/۴۷	۱۲/۲۸	۱/۰۲۸۰	۱۰/۱۳	۱۲/۸۹	۱/۰۰۴۳	۸/۹۴	۱۱/۶۲	خطی	۳	۰/۸۴
۱/۰۰۶	۹/۷۵	۱۲/۲۴	۰/۹۹۸۴	۱۱/۴۵	۱۴/۳۱	۱/۰۰۲۱	۸/۵۵	۱۰/۵۶	خطی	۴	۰/۷۸
۱/۰۰۲۹	۸/۲۹	۱۱/۳۳	۱/۰۰۵۹	۱۰/۲۵	۱۴/۱۲	۱/۰۰۰۸	۶/۹۲	۸/۸۲	خطی	۵	۰/۷۶
۱/۰۲۰۵	۱۷/۸۹	۲۳/۵۷	۱/۰۴۶	۱۵/۸۹	۲۳/۳۵	۰/۹۹۹۲	۱۹/۵۳	۲۳/۵۴	ثابت	۳	۰/۷۹۹
۱/۰۰۶۷	۱۶/۷۳	۲۲/۲۴	۱/۰۱۴۸	۱۶/۲۵	۲۰/۸۳	۰/۹۹۹۸	۱۷/۱۳	۲۳/۳۶	ثابت	۷	۰/۵۹۷
۱/۰۰۷۳	۱۲/۷۰	۱۸/۸۰	۱/۰۱۷۸	۱۴/۹۰	۲۰/۴۱	۱/۰۰۰۰	۱۱/۱۶	۱۷/۵۰	ثابت	۲۰	۰/۳۶۱
۱/۰۰۳۸	۹/۸۴	۱۴/۰۸	۱/۰۰۸۵	۱۱/۴۸	۱۶/۲۹	۱/۰۰۰۵	۸/۵۶	۱۲/۲۲	ثابت	۲۱	۰/۳۴۱۵
۰/۹۹۴۰	۹/۹۷	۱۳/۵۹	۰/۹۸۵۱	۱۱/۸۹	۱۵/۴۰	۱/۰۰۰۲	۸/۵۶	۱۲/۲۱	ثابت	۲۲	۰/۳۳۷۵
۱/۰۰۵۵	۱۰/۶۵	۱۴/۴۸	۱/۰۱۳۶	۱۲/۹۳	۱۶/۲۷	۱/۰۰۰۱	۹/۱۶	۱۳/۱۲	ثابت	۲۸	۰/۲۸۹

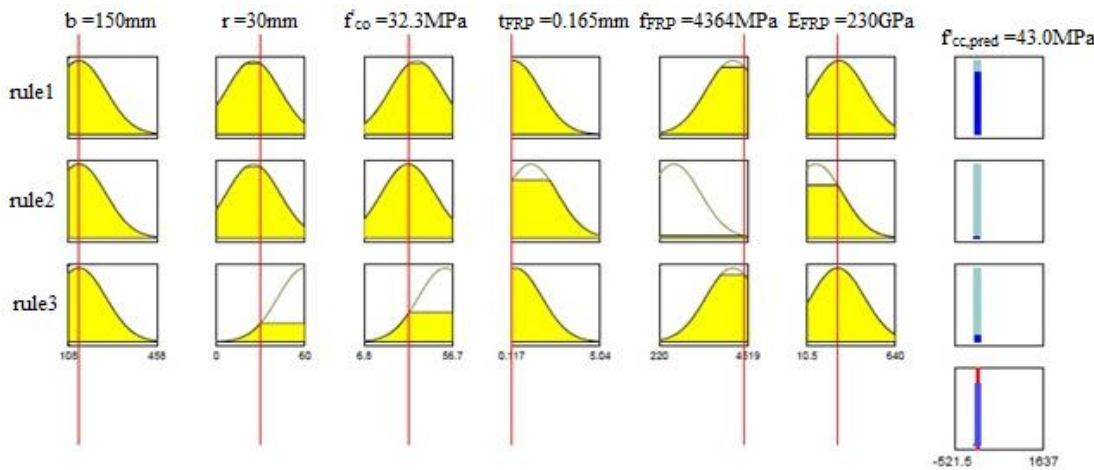
توضیح: Mean و COV مربوط به  $f_{cc,exp}/f_{cc,pred}$  است و MAPE از رابطه ۱۴ به دست می‌آید.

جدول ۵ - مختصات مرکز خوشة مدل فازی پیشنهادی ( $r_a=۰/۸۵۲۵$ )

b (mm)	r (mm)	$f_{co}$ (MPa)	$t_{FRP}$ (mm)	$f_{FRP}$ (MPa)	$E_{FRP}$ (GPa)	شماره مرکز خوشة
۱۵۰	۲۵	۳۶/۶	۰/۲۳۴	۳۸۰۰	۲۴۰	۱
۱۵۰	۲۵	۳۱/۸	۱/۲	۹۴۵	۷۵/۱	۲
۱۵۰	۶۰	۵۲/۷	۰/۳۳	۳۷۸۸	۲۳۰	۳

جدول ۶ - ضرایب بهینه شده قسمت تالی قوانین مدل فازی پیشنهادی ( $r_a=۰/۸۵۲۵$ )

s	u	v	x	y	z	q	شماره قانون
-۰/۲۲۸۶۶	۰/۳۹۷۷۶	۰/۸۴۵۳۰	۴۴/۲۶۵۲۵	۰/۰۰۲۹۶	-۰/۰۰۵۱۶	۲۰/۱۲۶۲۱	$f_{cel}$
-۰/۰۷۳۹۲	۰/۴۰۰۳۶	۰/۲۱۸۷۱	۳/۳۵۰۴۳	-۰/۰۱۲۰۴	۰/۱۶۶۴۸	۳۷/۹۳۲۸۷	$f_{cc2}$
۱/۱۸۶۵۸	۰/۵۲۰۸۸	۱/۷۹۶۳۱	۱۷۶/۱۸۱۸۵	۰/۰۴۵۰۶	۰/۳۱۹۷۹	-۵۱۵/۸۷۹۶۸	$f_{cc3}$



شکل ۴- نمودار مدل فازی پیشنهادی برای یک داده آزمایشگاهی

پیشنهادی را نشان داده و یکی از نقاط کلیدی درستی رفتار مدل می‌باشد.

#### ۶- مقایسه مدل فازی پیشنهادی با مدل های موجود

میزان خطای MAPE هر یک از مدل‌ها نسبت به نتایج آزمایشگاهی و همچنین مقادیر میانگین و ضریب تغییرات برای نسبت ( $f'_{cc,exp}/f'_{cc,pred}$ ) حساب و در جدول ۷ ارائه شده است. در ۹ مدل ارائه شده توسط سایر محققان، مقدار خطای محاسبه شده MAPE، بین ۰/۱۱-۰/۵۶٪ و مقدار میانگین و ضریب تغییرات، به ترتیب بین ۰/۸۶۰-۰/۳۱۷٪ و ۰/۱۲۰-۰/۳۳٪ می‌باشد. در برخی از موارد مقدار بدست آمده از مدل، کمتر از مقدار آزمایشگاهی است که در عمل این اختلاف زیاد در تخمین مقاومت، طرح FRP را غیراقتصادی می‌کند. در مواردی نیز نتایج حاصل از مدل‌ها غیرایمن و بیشتر از مقادیر آزمایشگاهی می‌باشند. در نتیجه ارائه مدل‌های دقیق تری که استفاده بهینه از مصالح FRP را به همراه داشته باشند، ضروری می‌باشد.

لازم به ذکر است که بررسی نتایج آزمایش‌های منتشرشده نشان می‌دهد یکی از ضعفهای مهم این داده‌ها این است که از ۱۸۲ نمونه، در ۱۱۹ مورد مقدار MCR که در مدل میرمیران و همکارانش [۲۸] بیان شده، کمتر از ۰/۱۵ است. به عبارت دیگر اکثر نتایج آزمایشگاهی موجود برای سطوح پایین محصور شدگی هستند که در این موارد

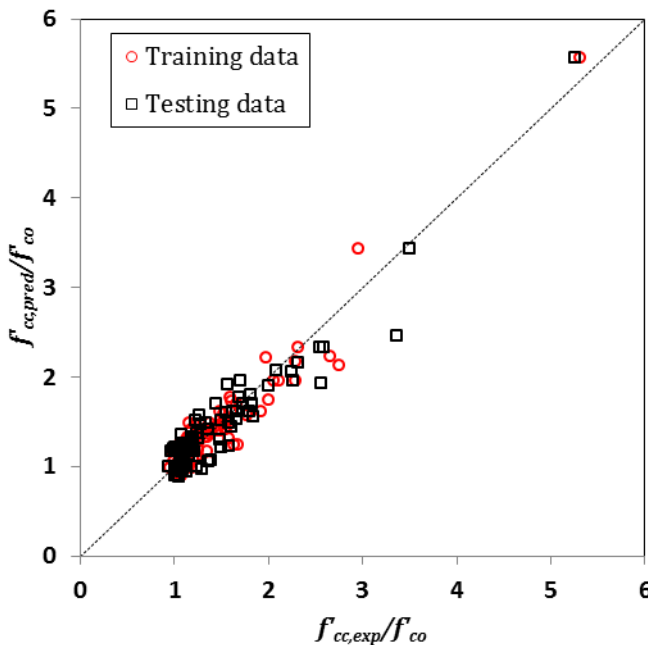
همان طور که ملاحظه می‌شود مقدار خروجی مدل برای مقاومت فشاری برابر با  $f'_{cc,pred}=43/0$  MPa خواهد شد و به مقدار بدست آمده از آزمایش نزدیک می‌باشد.

#### ۶- بحث و بررسی

##### ۶-۱- مقایسه مدل فازی پیشنهادی با نتایج آزمایشگاهی

در نمودار شکل ۵، مجموعه نتایج آزمایشگاهی با مقادیر پیش‌بینی شده توسط مدل فازی مقایسه شده است. در این نمودار محور افقی معرف مقادیر آزمایشگاهی و محور قائم معرف مقادیر پیش‌بینی شده توسط مدل فازی پیشنهادی می‌باشد. همان‌گونه که در نمودار شکل ۵ مشاهده می‌شود؛ توزیع نقاط نشان داده شده به خط قطري (خط ۴۵ درجه) نزدیک می‌باشد. بنابراین مدل فازی پیشنهادی با دقت خوبی می‌تواند نتایج آزمایشگاهی را پیش‌بینی نماید.

همچنین نمودار شکل ۵، پیش‌بینی مدل فازی پیشنهادی را به تفکیک برای داده‌های آموزش (training data) و داده‌های آزمایش (testing data) نشان می‌دهد. لازم به یادآوری است که داده‌های آزمایش در روند آموزش مدل فازی استفاده نشده‌اند؛ بلکه برای اعتبارسنجی مدل فازی پیشنهادی در پیش‌بینی داده‌های جدید به کار می‌روند. همانطور که مشاهده می‌شود پراکنش نتایج داده‌های آموزش حول خط قطري با پراکنش داده‌های آزمایش تقریباً مشابه است که نشان‌دهنده قابلیت خوب تعیین‌دهی مدل فازی پیشنهادی می‌باشد. این شکل، صحت و اطمینان مدل فازی



شکل ۵- مقایسه نتایج آزمایشگاهی با نتایج پیش‌بینی مدل فازی پیشنهادی برای مقاومت فشاری نمونه ستون‌های محصورشده

جدول ۷- مقدار خط، میانگین و ضریب تغییرات مدل‌های پیش‌بینی مقاومت فشاری نسبت به نتایج آزمایشگاهی

MAPE (%)	for $f_{cc,exp}/f_{cc,pred}$		مدل
	Mean	COV (%)	
۱۳/۵۵	۱/۰۹۴	۱۸/۴۰	میرمیران و همکاران [۲۳]
۱۴/۹۹	۱/۰۰۵	۲۰/۲۲	شهرات و همکاران [۵۱]
۱۱/۸۴	۰/۹۹۱	۱۴/۹۰	لم و تنگ [۲۵]
۱۱/۳۷	۱/۰۹۸	۱۶/۵۵	کمپیونه و میراگلیا [۴۴]
۱۵/۸۵	۰/۸۸۸	۱۲/۰۶	السلوم [۴۵]
۲۰/۵۶	۱/۳۱۷	۳۳/۷۸	پانتلیدس و یان [۵۰]
۱۵/۷۳	۰/۹۸۰	۱۹/۸۹	کوموتا و همکاران [۵۲]
۱۹/۷۶	۰/۸۶۰	۱۳/۵۱	ایلکی و همکاران [۴۸]
۱۱/۴۷	۰/۹۷۸	۱۳/۳۹	وو و ونگ [۴۹]
۹/۴۵	۱/۰۱۵	۱۲/۲۵	مدل فازی پیشنهادی

راه کار برای لحاظ اثر ماده FRP با خواصی کاملاً متفاوت از فولاد و همچنین مقطع مربعی با خصوصیات محصورشدنی متمایز از مقطع دایره‌ای محل بحث و تردید می‌باشد. فولاد رفتار الاستیک-پلاستیک داشته و FRP به شکل الاستیک عمل می‌کند. از سوی دیگر، فولاد شکل‌پذیر بوده و کرنش

نمی‌توان انتظار داشت منحنی تنش-کرنش به صورت یکنوا، صعودی باشد و مقاومت افزایش قابل توجهی پیدا کند. همان‌طور که قبلًا اشاره شد مدل‌های موجود از تغییر روابط تجربی که در واقع برای مقطع مدور محصورشده با صالح فولادی ارائه شده بودند، به دست آمده‌اند. البته این

نیز این مراحل تکرار شده و نتایج حاصله در شکل های ۶، ۷ و ۸ نشان داده شده‌اند.

نمودارهای الف و ب شکل ۶، تأثیر شعاع گوشه را بر روی مقاومت فشاری محاسبه شده توسط مدل‌های موجود و مدل فازی پیشنهادی نشان می‌دهند. همانطور که مشاهده می‌شود مدل فازی نزدیکترین نتایج را به مقادیر آزمایشگاهی دارد و با شبیه مناسب اثر شعاع گوشه بر مقاومت فشاری را پیش‌بینی می‌کند. در حالی که سایر مدل‌ها این اثر افزایشی شعاع گوشه بر مقاومت فشاری را یا اصلاً نشان نمی‌دهند (یعنی شبیه را برابر با صفر پیش‌بینی می‌کنند) و یا این شبی را متفاوت از واقعیت نشان می‌دهند. همان‌طور که انتظار می‌رفت مشاهده می‌شود هرچه شعاع گوشه بیشتر باشد، عملکرد محصورسازی بهتر خواهد بود و مقاومت فشاری نمونه بتی محصورشده بالاتر می‌رود. زیرا در این حالت مقطع نمونه‌ها به مقطع دایروی نزدیک‌تر شده و سطح محصورشده مؤثر (شکل ۳) افزایش می‌یابد و تمرکز تنفس در گوشه‌ها کمتر خواهد شد.

نمودار شکل ۷ اثر مقاومت مشخصه بتن را بر روی مقاومت فشاری نمونه بتی مربعی محصورشده با FRP نشان می‌دهد. همانگونه که مشاهده می‌شود با افزایش مقاومت مشخصه، مقاومت فشاری بتن محصورشده بالاتر می‌رود. مدل فازی پیشنهادی نسبت به سایر مدل‌ها تطابق بیشتری با نتایج نمونه‌های آزمایشگاهی دارد و میزان افزایش مقاومت فشاری را بهتر پیش‌بینی می‌کند.

نمودارهای الف، ب و ج شکل ۸، به بررسی تأثیر ضخامت لایه‌های FRP بر روی مقاومت فشاری بتن محصورشده می‌پردازند. همانطور که مشخص است با افزایش ضخامت لایه‌های FRP مقاومت فشاری محصورشده افزایش می‌یابد و نتایج مدل فازی پیشنهادی این موضوع را کاملاً نشان می‌دهد و بیشترین تطابق را با نتایج نمونه‌های آزمایشگاهی دارد. با مقایسه نمودارهای شکل ۸، مشاهده می‌شود که تأثیر افزایش ضخامت لایه‌های FRP بر روی مقدار مقاومت فشاری بتن محصورشده، برای بتن با مقاومت مشخصه خیلی پایین، بیشتر از بتن با مقاومت مشخصه خیلی بالا، می‌باشد.

## ۷- نتیجه گیری

در این تحقیق روش استنتاج مبتنی بر منطق فازی، برای پیش‌بینی مقاومت فشاری ستون بتی مربعی محصورشده با

پلاستیک زیادی را تحمل می‌نماید؛ در حالی که FRP بوده و کرنش نهایی آن بسیار کمتر از فولاد می‌باشد.

در ۹ مدل ارائه شده توسط سایر محققان، از ضریب شکل مقطع استفاده شده است. یعنی مقطع چهارضلعی با مقطعی مدور، معادل‌سازی می‌گردد و تنها برای بخشی از مقطع چهارضلعی که توسط چهار سهمی احاطه شده است (شکل ۳)، فشار یکنواخت محصورسازی در نظر گرفته می‌شود. جالب آنکه این ضریب شکل در مدل‌های مختلف دارای مقادیر متفاوتی می‌باشد.

برای رفع اشکالات بیان شده در مدل‌های موجود، روش استنتاج مبتنی بر منطق فازی گزینه بسیار مناسبی است. چرا که این قابلیت را دارد تا به طور مستقیم و بدون هیچ پیشفرضی بر روی شکل اولیه رابطه ریاضی و بدون استفاده از ضریب شکل، با لحاظ همه پارامترهای مؤثر در عملکرد مقطع مربعی از جمله شعاع گوشه (که در مقطع دایره‌ای مطرح نیست)، مقاومت فشاری را با دقت خوبی محاسبه کند.

با توجه به ردیف آخر از جدول ۷، مشاهده می‌شود که مدل فازی پیشنهادی با لحاظ همه شاخص‌های دقت مدل شامل COV، MAPE و میانگین از هر ۹ مدل بیان شده دارای عملکرد بهتری می‌باشد.

## ۶- مطالعه موردی بر روی اثر شعاع گوشه، مقاومت

### مشخصه بتن و ضخامت FRP بر نتایج مدل

با انجام یک تحلیل حساسیت با استفاده از مدل فازی پیشنهادی تأثیر شعاع گوشه، مقاومت مشخصه بتن<sup>۰۰</sup>، و ضخامت FRP، بر روی مقاومت فشاری ستون بتی مربعی محصورشده با FRP مورد بررسی قرار می‌گیرد.

برای مثال به منظور بررسی تأثیر شعاع گوشه، دو نمونه از داده‌های آزمایشگاهی موجود انتخاب شده است به گونه‌ای که پارامترهای دیگر شامل  $b_{co}$ ،  $f_{FRP}$  و  $E_{FRP}$ ، برای این دو نمونه یکسان باشند، در حالی که مقدار شعاع گوشه متفاوت است.

آنگاه با استفاده از مدل فازی پیشنهادی مقاومت فشاری برای مقادیر مختلف، محاسبه می‌شود. با این توضیح که بقیه پارامترها ثابت فرض شده‌اند. به همین ترتیب تأثیر ۲ در ۹ مدل دیگر محاسبه و همگی به همراه نتایج آزمایشگاهی در یک نمودار نمایش داده می‌شوند. برای پارامترهای  $f_{co}$  و  $t_{FRP}$

که پیش‌بینی مقاومت فشاری بتن محصورشده توسط مدل فازی تطابق خوبی با نتایج آزمایشگاهی دارد.

-۳- مدل فازی پیشنهادی از هر ۹ مدل ارائه شده توسط سایر محققان، دقت بهتری در پیش‌بینی مقدار مقاومت فشاری ستون بتون مربعی محصورشده با FRP دارد به طوری که مقدار میانگین و ضریب تغییرات آن برای نسبت  $f_{cc,exp}/f_{cc,pred}$  (به ترتیب برابر با  $1/0.15$  و  $12/25$ ٪ شده است که موجب استفاده اقتصادی‌تر از مصالح FRP می‌شود).

-۴- با انجام مطالعه موردی بر روی پارامترهای  $t_{FRP}$  و  $r$  نشان داده شد که مدل فازی پیشنهادی تأثیر تغییرات این پارامترها را بر روی مقاومت فشاری بتن محصورشده در مقایسه با نتایج آزمایشگاهی به خوبی پیش‌بینی می‌کند.

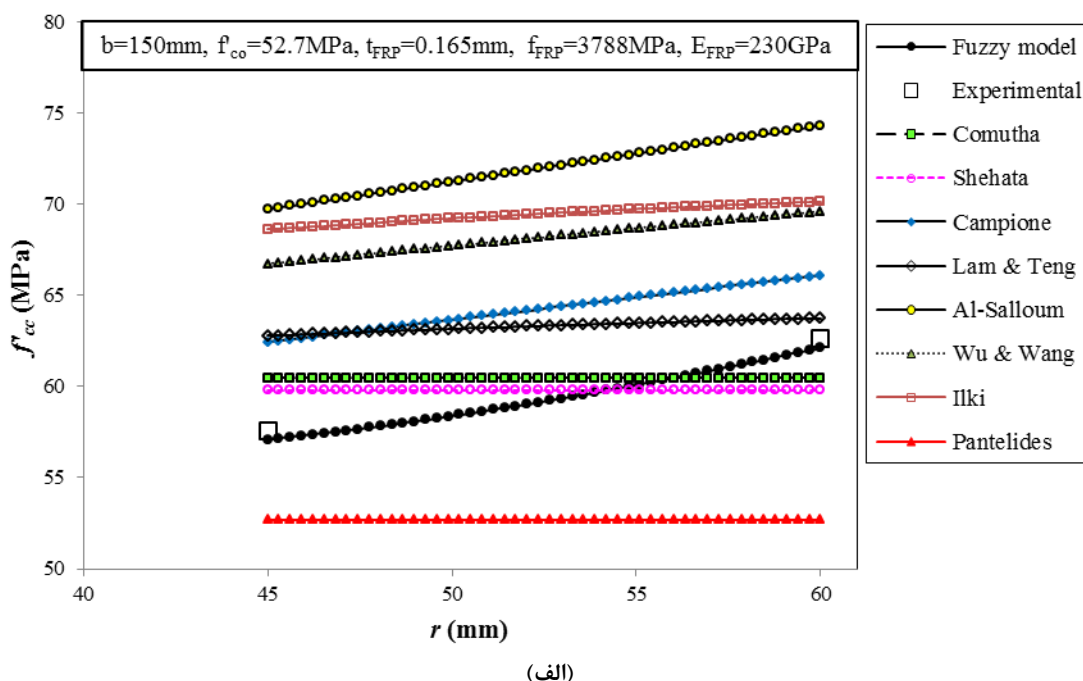
-۵- اعتبار مدل فازی پیشنهادی در محدوده داده‌هایی است که مدل آموزش دیده و ساخته شده است. برآینابی مدل فازی خارج از این محدوده ممکن است با خطای بیشتری همراه باشد.

FRP، استفاده شده و نتایج حاصل از مدل پیشنهادی با مجموعه‌ای از نتایج آزمایشگاهی و مدل‌های موجود مقایسه گشته است.

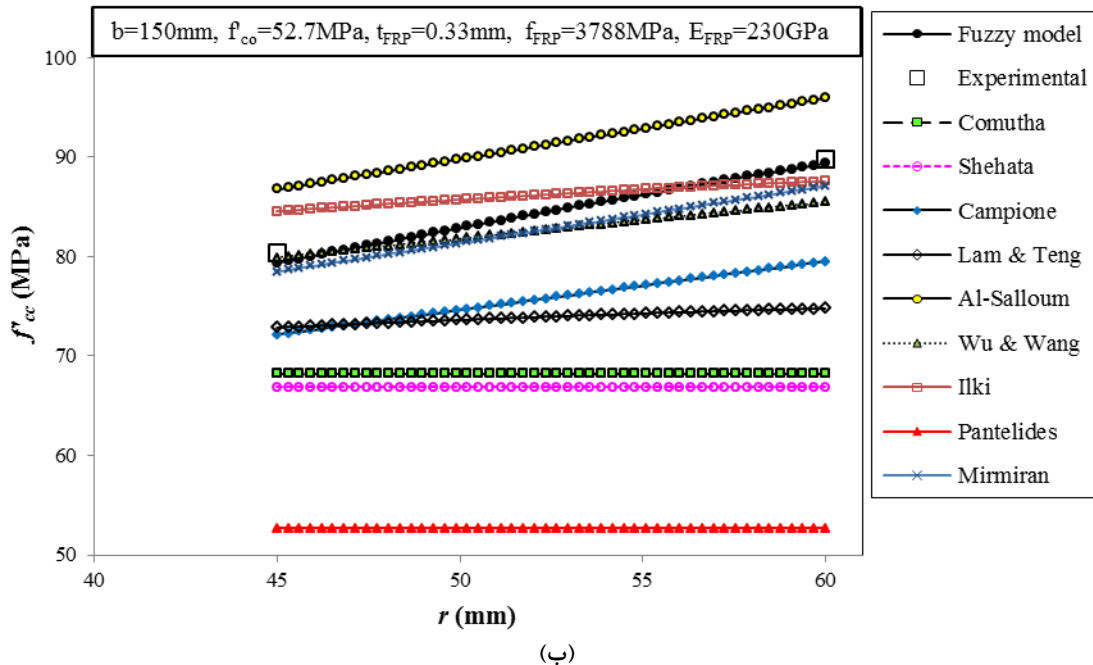
نتایج استخراج شده به شرح زیر می‌باشند:

۱- روش استنتاج فازی می‌تواند به عنوان یک روش دقیق و قابل اعتماد جایگزین مدل‌های موجود برای محاسبه مقاومت فشاری ستون بتون مربعی محصورشده با FRP گردد. قابل توجه آن که در بهدست آوردن مدل فازی هیچ یک از فرضیات معمول مدل‌های موجود استفاده نمی‌شود، زیرا روش فازی نیاز به پیش‌فرضی برای مدل و حل مسئله ندارد. این مدل بدون استفاده از مفهوم فرضی ضریب شکل مقطع که در مدل‌های موجود استفاده می‌شود، اثر شعاع گردی گوشه مقطع را لحاظ می‌کند.

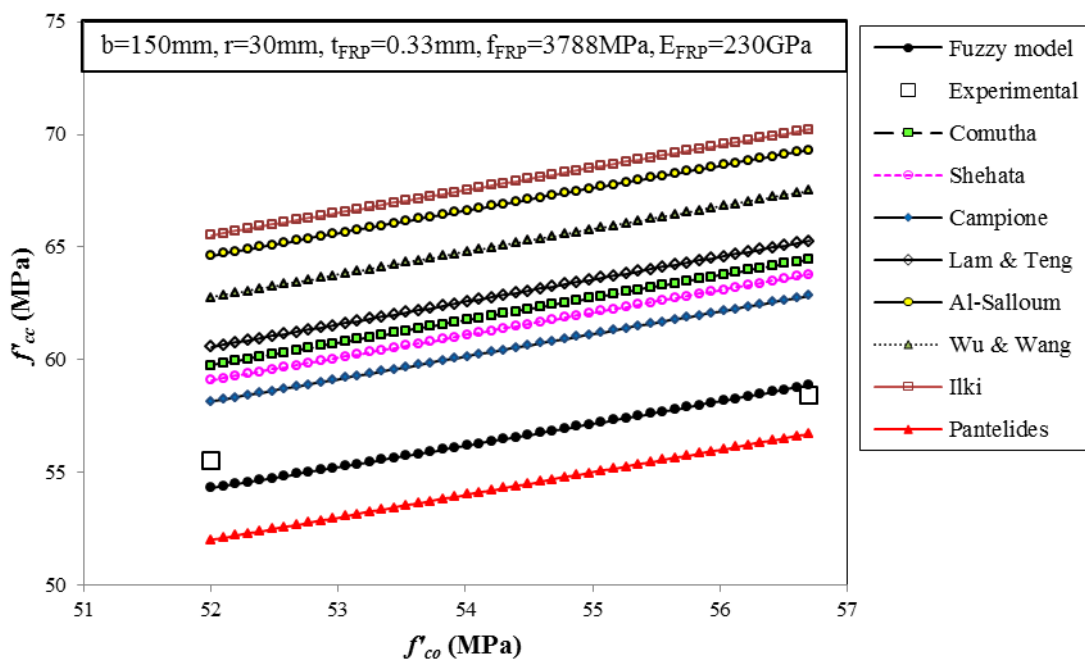
۲- با ارزیابی مدل فازی پیشنهادی در برابر یک مجموعه وسیعی از داده‌های آزمایشگاهی شامل ۱۸۲ نمونه که توسط محققان مختلف آزمایش و گزارش شده بود، مشاهده می‌شود



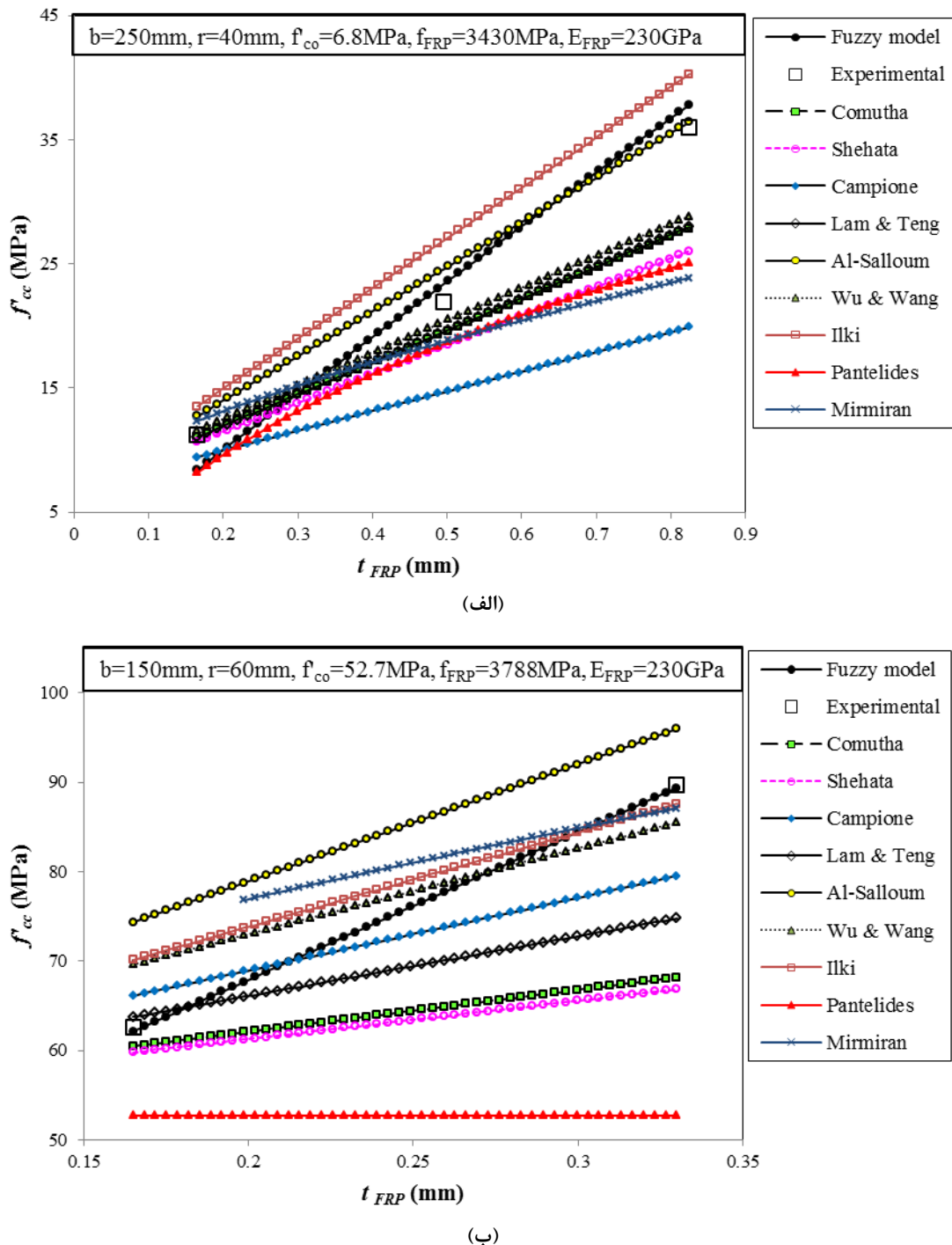
شکل ۶- اثر تغییرات مقدار شعاع گوشه بر نتایج پیش‌بینی مدل‌ها برای مقاومت فشاری محصورشده



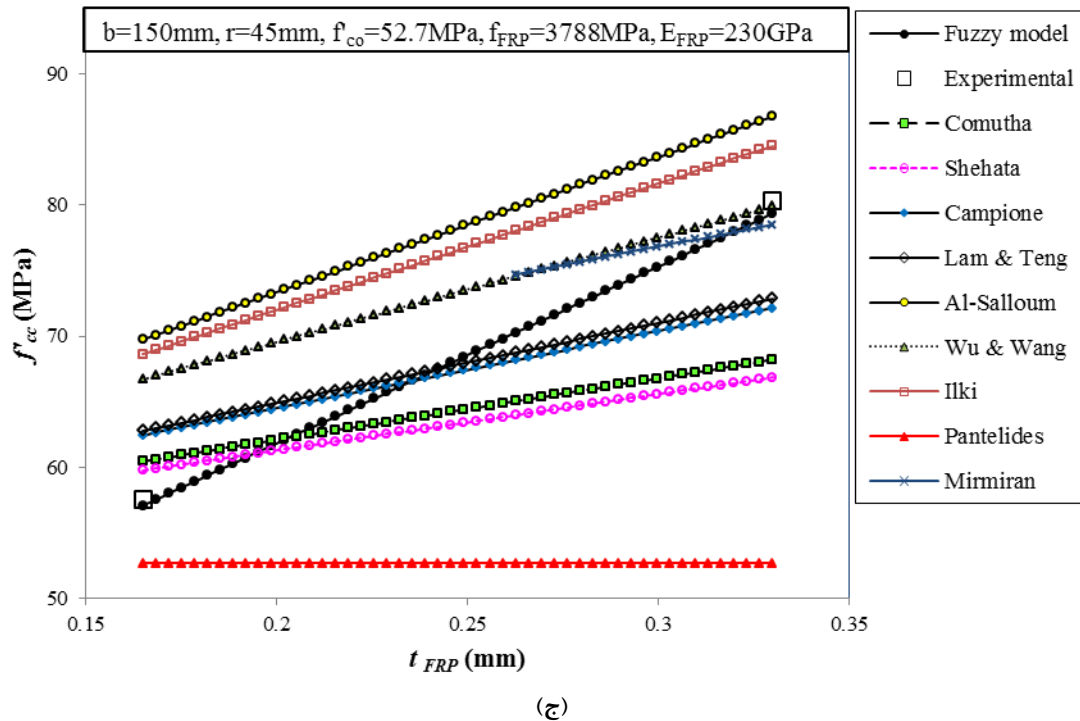
ادامه شکل ۶- اثر تغییرات مقدار شعاع گوشه بر نتایج پیش بینی مدل ها برای مقاومت فشاری محصور شده



شکل ۷- اثر تغییرات مقدار مقاومت مشخصه بتن بر نتایج پیش بینی مدل ها برای مقاومت فشاری محصور شده



شکل ۸ - اثر تغییرات مقدار ضخامت دوربیچ FRP بر نتایج پیش بینی مدل ها برای مقاومت فشاری محصور شده



ادامه شکل ۸ - اثر تغییرات مقدار ضخامت دوربیچ FRP بر نتایج پیش بینی مدل‌ها برای مقاومت فشاری محصور شده

American Concrete Institute, Proceedings 78(6): 440–446.

- [7] Saadatmanesh H, Ehsani MR, Li MW (1994) Strength and ductility of concrete columns externally reinforced with fiber composite straps. *ACI Struct J* 91(4): 434–447.
- [8] Samaan M, Mirmiran A, Shahawy M (1998) Model of concrete confined by fiber composites. *Journal of Structural Engineering ASCE* 124(9): 1025–1031.
- [9] Chaallal O, Hassan M, Shahawy M (2003) Confinement model for axially loaded short rectangular columns strengthened with fiber-reinforced polymer wrapping. *ACI Structural Journal* 100(2): 215–221.
- [10] Kono S, Inazumi M, Kaku T (1998) Evaluation of confining effects of FRP sheets on reinforced concrete members. *Proceedings of the 2<sup>nd</sup> Conference on Composites in Infrastructure ICCI 98*, Tucson, Arizona: 343–355.
- [11] Spoelstra MR, Monti G (1999) FRP-confined concrete model. *Journal of Composites for Construction ASCE* 3(3): 143–150.
- [12] Cevik A, Guzelbey IH (2008) Neural network modeling of strength enhancement for CFRP

## مراجع

- [1] Hollaway LC (2004) Advanced polymer composites for structural applications in construction. ACIC 2004. Woodhead Publishing.
- [2] Lorenzis L (2001) A comparative study of models on confinement of concrete cylinders with FRP composites. PhD thesis, Division for Building Technology, Chalmers University of Technology, Sweden.
- [3] Richart FE, Brandtzaeg A, Brown RL (1928) A study of the failure of concrete under combined compressive stresses. University of Illinois, Urbana. Engineering Experiment Station Bulletin, No.185.
- [4] Suter R, Pinzelli R (2001) Confinement of concrete columns with FRP sheets. In: *Proceedings, Fifth International Conference on Fibre Reinforced Plastics for Reinforced Concrete Structures*, Cambridge, UK: 793–802.
- [5] Mander JB, Priestley MJN, Park R (1988) Theoretical stress-strain model for confined concrete. *Journal of Structural Engineering, ASCE* 114(8): 1804–1826.
- [6] Fardis MN, Khalili H (1981) Concrete encased in fiberglass-reinforced-plastic. *Journal of the*

- [26] Mander JB, Priestley MJN, Park R (1988) Theoretical stress-strain model for confined concrete. *Journal of Structural Engineering ASCE*, 114(8): 1804–1826.
- [27] Teng JG, Chen JF, Smith ST, Lam L (2002) FRP strengthened RC structures. John Wiley and Sons. West Sussex, England: pp 1–10, 100–108, 148–236.
- [28] Rochette P, Labossiere P (2000) Axial testing of rectangular column models confined with composites. *Journal of Composites for Construction* 4(3): 129–136.
- [29] Zadeh LA (1965) Fuzzy sets. *Journal of Information and Control* 8(3): 338–353.
- [30] Rutkowski L (2004) Flexible neuro-fuzzy systems: Structures, learning and performance evaluation. Kluwer Academic Publishers.
- [31] Sivanandam SN, Sumathi S, Deepa SN (2007) Introduction to fuzzy logic using MATLAB. Springer.
- [32] Haris J (2006) Fuzzy logic applications in engineering science. Springer.
- [33] Bai YY, Zhuang H, Wang D (2006) Advanced fuzzy logic technologies in industrial applications. Springer.
- [34] Jang JSR, Sun CT, Mizutani E (1997) Neuro-fuzzy and soft computing: A Computational approach to learning and machine intelligence. Prentice Hall.
- [35] Wang LM, Wu YF (2008) Effect of corner radius on the performance of CFRP-confined square concrete columns: Test. *Engineering Structures* 30: 493–505.
- [36] Ilki A, Kumbasar N, Koc V (2004) Low strength concrete members externally confined with FRP sheets. *Int J Struct Eng Mech* 18(2): 167–194.
- [37] Wu YF, Tao L, Oehlers DJ (2006) Fundamental principles that govern retrofitting of reinforced concrete columns by steel and FRP jacketing. *Advances in Structural Engineering* 9(4): 507–533.
- [38] Pessiki S, Harries KA, Kestner JT, Sause R, Ricles JM (2001) Axial behavior of reinforced concrete columns confined with FRP jackets. *Journal of Composites for Construction ASCE* 5(4): 237–245.
- [39] Restrepol JI, De Vino B (1996) Enhancement of the axial load-capacity of reinforced concrete columns by means of fiberglass-epoxy jackets. In: El-Badry, M.M.(ed.), Proceedings, Second International Conference on Advanced Composite Materials in Bridges and Structures, Montreal, Canada: 547–690.
- confined concrete cylinders. *Building and Environment* 43(5): 751–763.
- [13] Cevik A, Tolga MG, Guzelbey IH, Filiz H (2010) Soft computing based formulation for strength enhancement of CFRP confined concrete cylinders. *Advances in Engineering Software* 41(4): 527–536.
- [14] Cevik A (2011) Modeling strength enhancement of FRP confined concrete cylinders using soft computing. *Expert Systems with Applications* 38(5): 5662–5673.
- [15] Fardis MN, Khalili H (1982) FRP-encased concrete as a structural material. *Magazine of Concrete Research* 34(122): 191–202.
- [16] Karbhari VM, Gao Y (1997) Composite jacketed concrete under uniaxial compression – verification of simple design equations. *Journal of Materials in Civil Engineering ASCE* 9(4): 185–193.
- [17] Miyauchi K, Inoue S, Kuroda T, Kobayashi A (1999) Strengthening effects of concrete columns with carbon fiber sheet. *Transactions of The Japan Concrete Institute* 21: 143–150.
- [18] Saafi M, Toutanji HA, Li Z (1999) Behavior of concrete columns confined with fiber reinforced polymer tubes. *ACI Materials Journal* 96(4): 500–509.
- [19] Toutanji HA (1999) Stress-strain characteristics of concrete columns externally confined with advanced fiber composite sheets. *ACI Materials Journal* 96(3): 397–404.
- [20] Xiao Y, Wu H (2000) Compressive behavior of concrete confined by carbon fiber composite jackets. *Journal of Materials in Civil Engineering* 12(2): 139–146.
- [21] Lam L, Teng JG (2003) Design-oriented stress-strain model for FRP-confined concrete. *Journal of Construction and Building Materials*, 17: 471–489.
- [22] Park R, Paulay T (1975) Reinforced concrete structures. John Wiley & Sons, NY, USA.
- [23] Mirmiran A, Shahawy M, Samman M, Echary H, Mastrappa JC, Pico O (1998) Effect of column parameters on FRP-confined concrete. *Journal of Composites for Construction* 2(4): 175–185.
- [24] Purba BK, Mufti AA (1999) Investigation of the behavior of circular concrete columns reinforced with carbon fiber reinforced polymer (CFRP) jackets. *Canadian Journal of Civil Engineering* 26(4): 590–596.
- [25] Lam L, Teng JG (2003) Design-oriented stress-strain model for FRP-confined concrete in rectangular columns. *Journal of Reinforced Plastics and Composites* 22(13): 1149–1186.

- [48] Ilki A, Peker O, Karamuk E, Demir C, Kumbasar N (2008) FRP retrofit of low and medium strength circular and rectangular concrete columns. *Journal of Materials in Civil Engineering* 20(2): 169–188.
- [49] Wu YF, Wang LM (2008) A unified model for the compressive strength of FRP-confined square and circular concrete columns. *Forth International conference on FRP composites in civil Engineering (CICE2008)*, Zurich, Switzerland.
- [50] Pantelides CP, Yan Z (2007) Confinement model of concrete with externally bonded FRP jackets or post tensioned FRP shells. *Journal of Structural Engineering* 133(9): 1288–1296.
- [51] Shehata IAEM, Carneiro LAV, Shehata, LCD (2002) Strength of short columns confined with CFRP sheets. *Journal of Material and Structures* 35(1): 50–58.
- [52] Kumutha R, Vaidyanathan R, Palanichamy MS (2007) Behavior of reinforced concrete rectangular columns strengthened using GFRP. *Journal of Cement & Concrete Composites* 29: 609–615.
- [53] Demers M, Neale KW (1994) Strengthening of concrete columns with unidirectional composite sheets. In: Mufti, A.A., Bakht, B. and Jaeger, L.G. (eds), *Development in Short and Medium Span Bridge Engineering '94*, Proceedings of the Fourth International Conference on Short and Medium Span Bridges, Canadian Society for Civil Engineering, Montreal, Canada: 895–905.
- [54] Wu Yi-bin, Jin Guo-fang, Ding Ting and Meng Dong (2010) Modeling confinement efficiency of frp-confined concrete column using radial basis function neural network. *Intelligent Systems and Applications (ISA)*, 2nd International Workshop on IEEE.
- [40] Wang YC, Restrepo JI (2001) Investigation of concentrically loaded reinforced concrete columns confined with glass fiber-reinforced polymer jackets. *ACI Structural Journal* 98(3): 377–385.
- [41] Chun SS, Park HC (2002) Load carrying capacity and ductility of RC columns confined by carbon fiber reinforced polymer. In: *Proceedings, Third International Conference on Composites in Infrastructure*.
- [42] Parretti R, Nanni A (2002) Axial testing of concrete columns confined with carbon FRP: effect of fiber orientation. In: *Proceedings, Third International Conference on Composites in Infrastructure*.
- [43] Pulido C, Saiidi MS, Sanders D, Itani A (2002) Experimental validation and analysis of a CFRP-retrofit of a two-column bent. In: *Proceedings, Third International Conference on Composites in Infrastructure*.
- [44] Campione G, Miraglia N (2003) Strength and strain capacities of concrete compression members reinforced with FRP. *Cement and Concrete Composites* 25: 31–41.
- [45] Al-Salloum YA (2007) Influence of edge sharpness on the strength of square concrete columns confined with FRP composite laminates. *Journal of Composites, Part B: engineering* 38: 640–650.
- [46] Parvin A, Wang W (2001) Behavior of FRP jacketed concrete columns under eccentric loading. *Journal of Composites for Construction* 5(3): 146–152.
- [47] Rousakis TC, Karabinis AI, PD (2007) FRP-confined concrete members: axial compression experiments and plasticity modeling. *Engineering Structures* 29(7): 1343–1353.